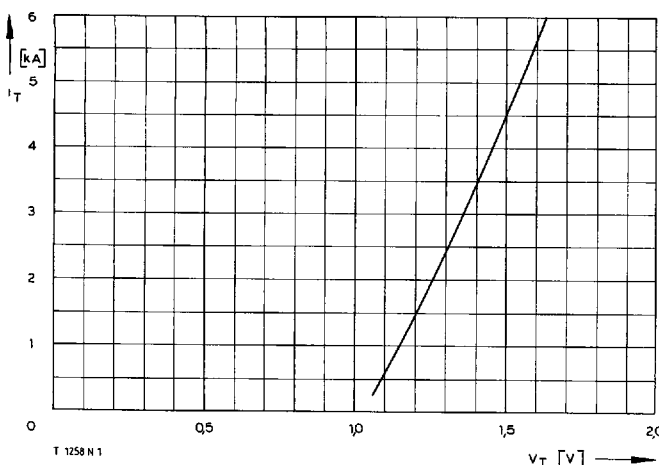


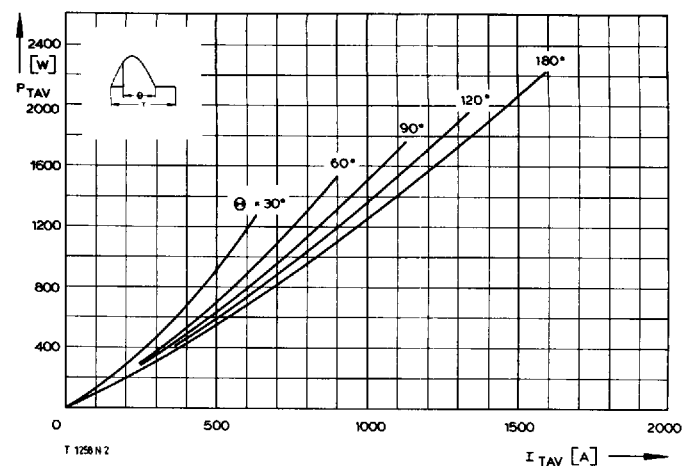
T-25-21

Type Range	T 1258 N/T 1259 N	200	400	600	700*
<b>Elektrische Eigenschaften</b>					
<b>Höchstzulässige Werte</b>		<b>Maximum permissible values</b>			
$V_{DRM}, V_{RRM}$	Periodische Vorwärts- und Rückwärts-Spitzenspannung	repetitive peak forward off-state and reverse voltages		200...700	V
$I_{TRMSM}$	Effektiver Durchlaßstrom	RMS on-state current		2500	A
$I_{TAVM}$	Dauergrenzstrom	average on-state current	$t_C = 85^\circ C$	1258	A
$I_{TRM}$	Periodischer Spitzenstrom	repetitive peak on-state current	$t_C = 67^\circ C$	1590	A
$I_{TSM}$	Stoßstrom-Grenzwert	surge current		15	kA
$\int i^2 dt$	Grenzlastintegral	$\int i^2 dt$ -value	$t_p = 10 \text{ ms}, t_{vj} \leq 45^\circ C$	23	kA
			$t_p = 10 \text{ ms}, t_{vj} = t_{vj \max}$	20	kA
			$t_p = 10 \text{ ms}, t_{vj} = 45^\circ C$	$2,65 \cdot 10^6$	A <sup>2</sup> s
			$t_p = 10 \text{ ms}, t_{vj} = t_{vj \max}$	$2 \cdot 10^6$	A <sup>2</sup> s
$(di/dt)_{cr}$	Kritische Stromsteilheit	critical rate of rise of on-state current	nicht periodisch/non repetitive	600	A/ $\mu$ s
			Dauerbetrieb/continuous operation, $i_{TM} = 4500 \text{ A}$ , $v_L = 10 \text{ V}$ , $i_G = 1 \text{ A}$ , $di_G/dt = 1 \text{ A}/\mu\text{s}$	120	A/ $\mu$ s
$(dv/dt)_{cr}$	Kritische Spannungssteilheit	critical rate of rise of off-state voltage	$v_D = 67\% V_{DRM}, t_{vj} = t_{vj \max}$	400	V/ $\mu$ s
			5. Kennbuchstabe/5th letter C	1000	V/ $\mu$ s
			5. Kennbuchstabe/5th letter F		
<b>Charakteristische Werte</b>		<b>Characteristic values</b>			
$V_T$	Obere Durchlaßspannung	max. on-state voltage	$t_{vj} = t_{vj \max}, i_T = 4500 \text{ A}$	1,5	V
$V_{(TO)}$	Schleusenspannung	threshold voltage	$t_{vj} = t_{vj \max}$	1	V
$r_T$	Ersatzwiderstand	slope resistance	$t_{vj} = t_{vj \max}$	0,1	m $\Omega$
$V_{GT}$	Obere Zündspannung	max. gate trigger voltage	$t_{vj} = 25^\circ C, v_D = 6 \text{ V}, R_A = 5 \Omega$	1,5	V
$I_{GT}$	Oberer Zündstrom	max. gate trigger current	$t_{vj} = 25^\circ C, v_D = 6 \text{ V}, R_A = 5 \Omega$	250	mA
	Unterer Zündstrom	min. gate trigger current	$t_{vj} = t_{vj \max}, v_D = 6 \text{ V}, R_A = 5 \Omega$	10	mA
$I_H$	Oberer Haltestrom	max. holding current	$t_{vj} = 25^\circ C, v_D = 6 \text{ V}, R_A = 5 \Omega$	300	mA
$I_L$	Oberer Einraststrom	max. latching current	$t_{vj} = 25^\circ C, v_D = 6 \text{ V}, R_{GK} \geq 10 \Omega$	1,2	A
$i_D, i_R$	Oberer Vorwärts- und Rückwärts-Sperrstrom	max. forward off-state and reverse currents	$i_G = 1 \text{ A}, di_G/dt = 1 \text{ A}/\mu\text{s}, t_g = 20 \mu\text{s}$	80	mA
$t_{gd}$	Oberer Zündverzug	max. gate controlled delay time	$t_{vj} = t_{vj \max}, v_D = V_{DRM} (V_R = V_{RRM})$	4	$\mu$ s
$t_q$	Typische Freiwerdezeit	typical turn-off time	$i_G = 1 \text{ A}, di_G/dt = 1 \text{ A}/\mu\text{s}$	200	$\mu$ s
$C_{null}$	Typische Nullkapazität	typical zero capacitance	Prüfbedingungen/test conditions 3.4.3.4	12	nF
			$t_{vj} = 25^\circ C, f = 10 \text{ kHz}$		
<b>Thermische Eigenschaften</b>		<b>Thermal properties</b>			
$R_{thJC}$	Innerer Wärmewiderstand für beidseitige Kühlung	thermal resistance, junction to case for two-sided cooling	$\Theta = 180^\circ \text{el, sinus}$	$\leq 0,033^\circ \text{C/W}$	
$R_{thJC(A)}$	für anodenseitige Kühlung	for anode-sided cooling	DC	$\leq 0,03^\circ \text{C/W}$	
$R_{thJC(K)}$	für kathodenseitige Kühlung	for cathode-sided cooling	$\Theta = 180^\circ \text{el, sinus}$	$\leq 0,059^\circ \text{C/W}$	
$R_{thCK}$	Wärmewiderstand für einen Übergang zwischen Gehäuse und Kühlkörper	single sided thermal resistance, case to heatsink	DC	$\leq 0,056^\circ \text{C/W}$	
$t_{vj \max}$	Höchstzul. Sperrsichttemperatur	max. junction temperature	$\Theta = 180^\circ \text{el, sinus}$	$\leq 0,068^\circ \text{C/W}$	
$t_{vj op}$	Betriebstemperatur	operating temperature	DC	$\leq 0,065^\circ \text{C/W}$	
$t_{stg}$	Lagertemperatur	storage temperature			
				0,01	°C/W
				140	°C
				$-40^\circ \text{C} \dots +140^\circ \text{C}$	
				$-40^\circ \text{C} \dots +140^\circ \text{C}$	
<b>Mechanische Eigenschaften</b>		<b>Mechanical properties</b>			
$G$	Gewicht T 1258 N/T 1259 N	weight T 1258 N/T 1259 N		160 g/270 g	
$F$	Anpreßkraft	clamping force		12...15 kN	
	Maßbilder T 1258 N/T 1259 N	outlines T 1258 N/T 1259 N	DIN 41814-153 D 4/-153 C 4	Seite/page 240	
	Kriechstrecke T 1258 N/T 1259 N	creepage distance T 1258 N/T1259 N		17 mm/28 mm	
	Feuchtekategorie	humidity classification	DIN 40040	C	
	Schüttelfestigkeit	vibration resistance	$f = 50 \text{ Hz}$	$5 \times 9,81 \text{ m/s}^2$	

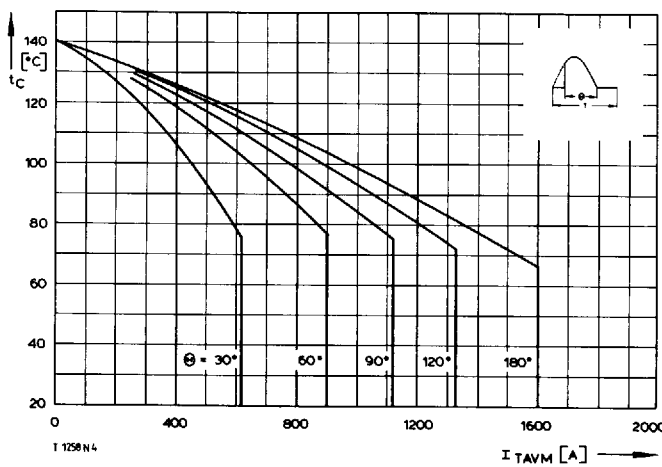
\* Für größere Stückzahlen bitte Liefertermin erfragen/Delivery for larger quantities on request



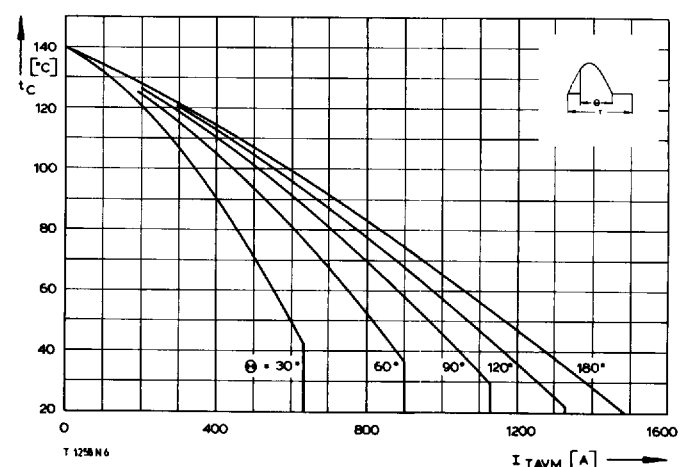
Bild/Fig. 1  
Grenzdurchlaßkennlinie bei  $t_{vj,\max}$   
Max. on-state characteristic at  $t_{vj,\max}$



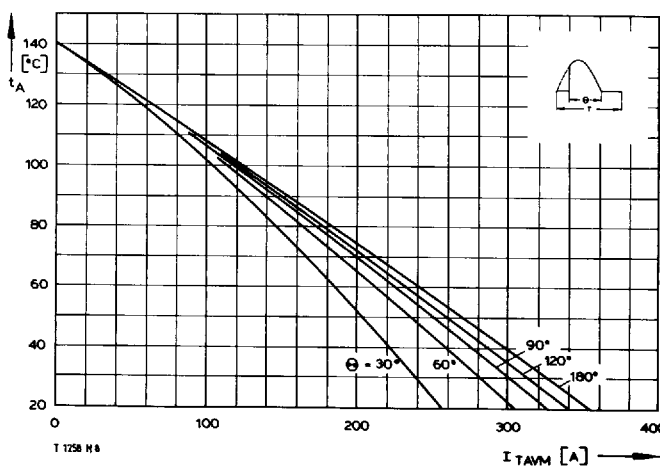
Bild/Fig. 2  
Durchlaßverlustleistung  $P_{TAV}$ /On-state power loss  $P_{TAV}$



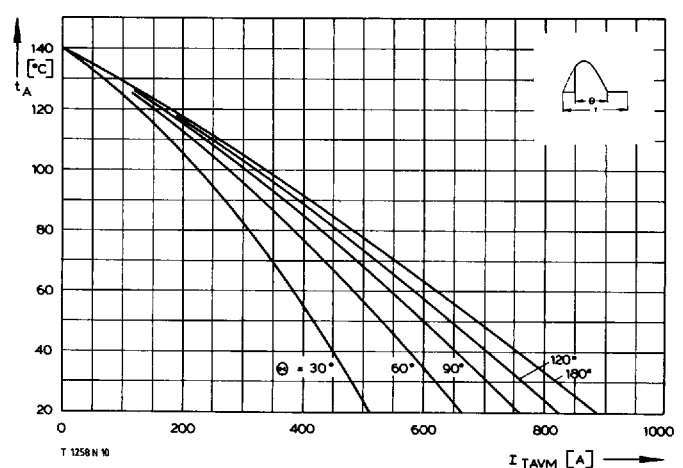
Bild/Fig. 3  
Höchstzulässige Gehäusetemperatur  $t_C$  bei beidseitiger Kühlung  
Maximum allowable case temperature  $t_C$  at two-sided cooling



Bild/Fig. 4  
Höchstzulässige Gehäusetemperatur  $t_C$  bei anodenseitiger Kühlung  
Maximum allowable case temperature  $t_C$  at anode sided cooling



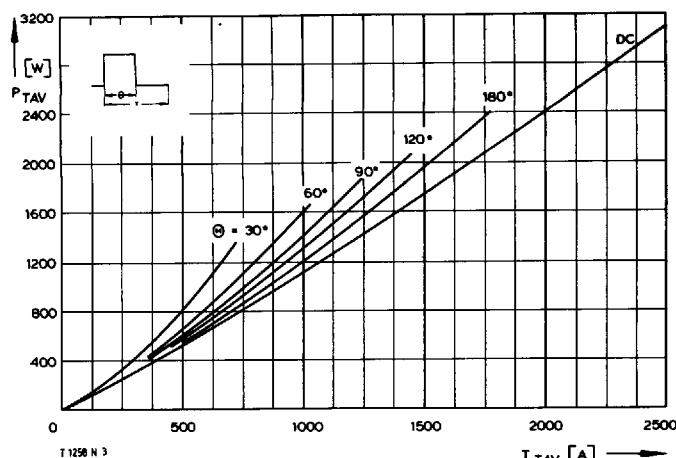
Bild/Fig. 5  
Höchstzulässige Kühlmittelttemperatur  $t_A$  bei Betrieb auf Kühlkörper K 0,05 F,  
Luftselfbstkühlung.  
Maximum allowable cooling medium temperature  $t_A$ , heatsink type K 0.05 F,  
natural cooling.



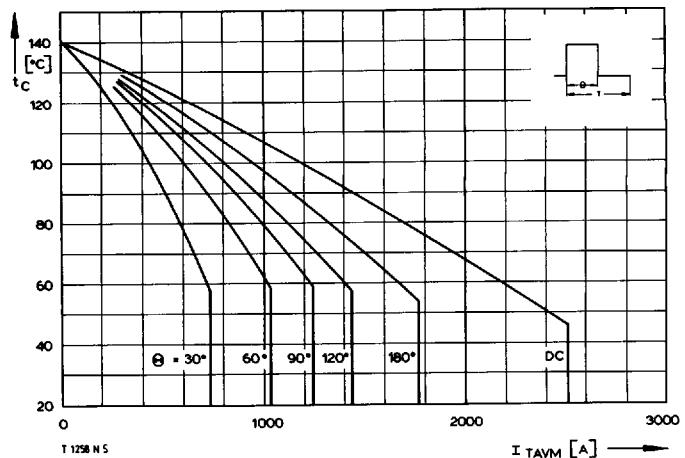
Bild/Fig. 6  
Höchstzulässige Kühlmittelttemperatur  $t_A$  bei verstärkter Luftkühlung,  $V_L = 120$  l/s,  
auf Kühlkörper K 0,05 F.  
Maximum allowable cooling medium temperature  $t_A$ , at forced cooling,  $V_L = 120$  l/s,  
on heatsink type K 0.05 F.

**T 1258 N T 1259 N**

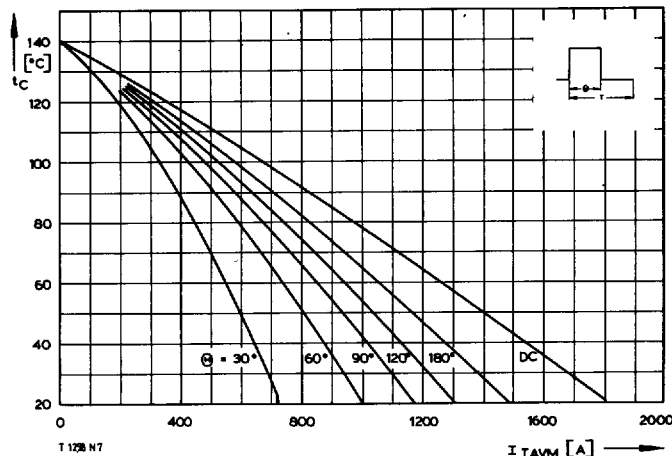
T-25-21



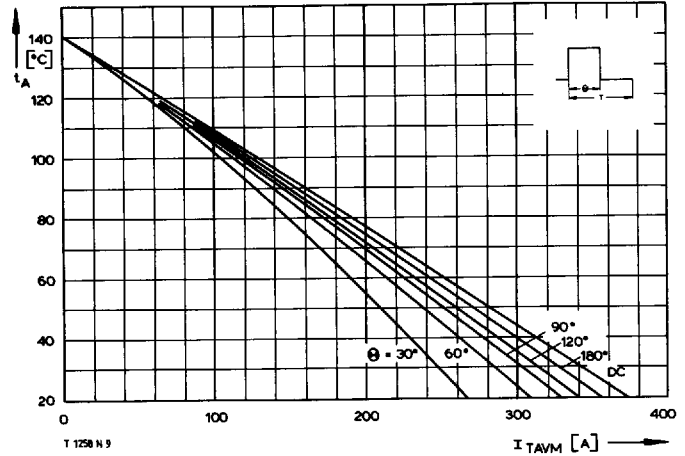
Bild/Fig. 7  
Durchlaßverlustleistung  $P_{TAV}$ /On-state power loss



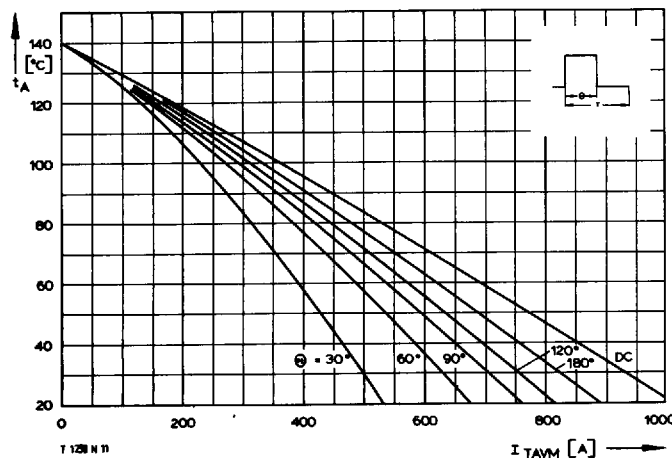
Bild/Fig. 8  
Höchstzulässige Gehäusetemperatur  $t_c$  bei beidseitiger Kühlung  
Maximum allowable case temperature  $t_c$  at two-sided cooling



Bild/Fig. 9  
Höchstzulässige Gehäusetemperatur  $t_c$  bei anodenseitiger Kühlung  
Maximum allowable case temperature  $t_c$  at anode sided cooling

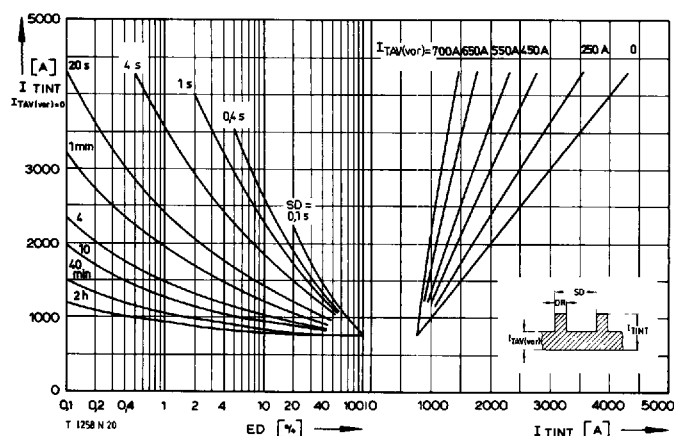
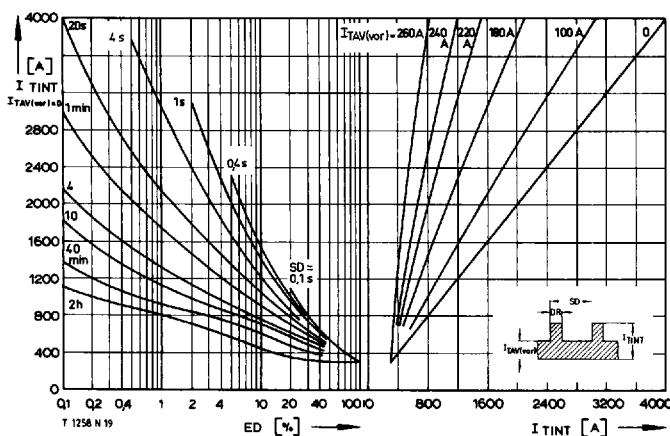
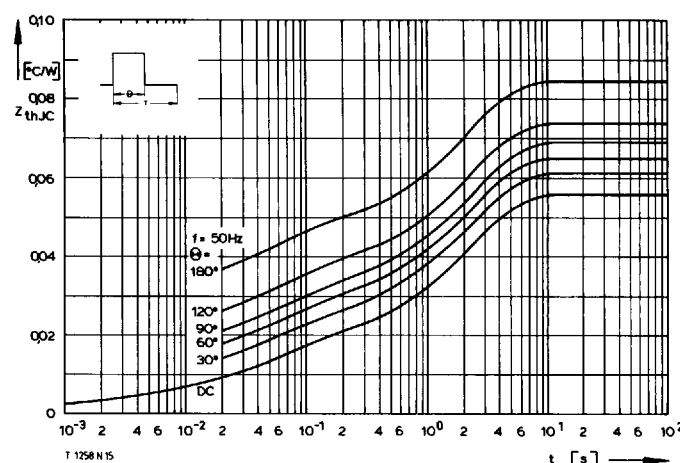
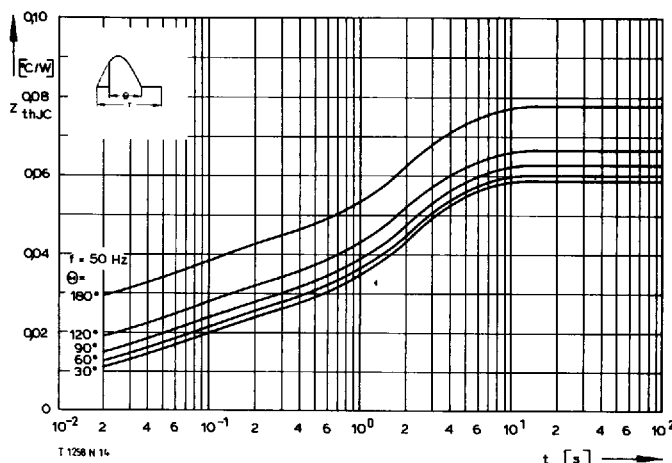
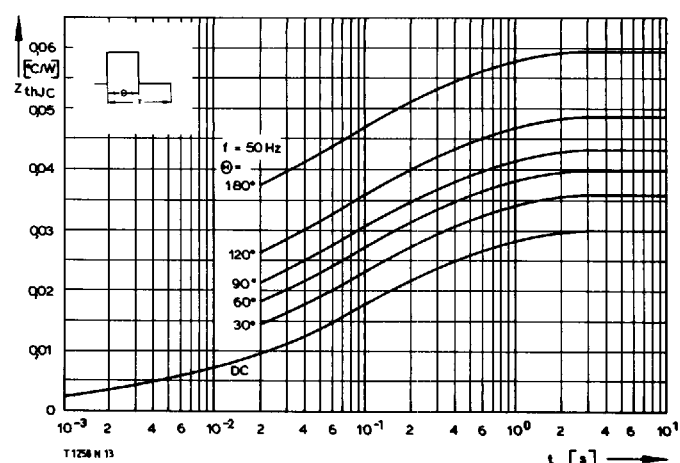
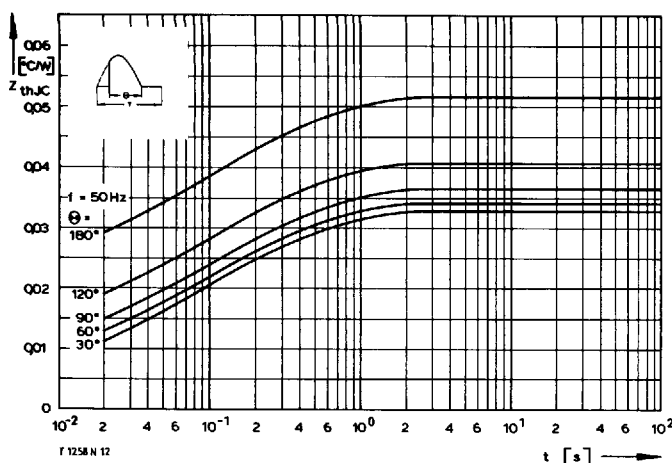


Bild/Fig. 10  
Höchstzulässige Kühlmittelttemperatur  $t_A$  bei Betrieb auf Kühlkörper K 0,05 F,  
Luftselbstkühlung.  
Maximum allowable cooling medium temperature  $t_A$ , heatsink type K 0.05 F,  
natural cooling.



Bild/Fig. 11  
Höchstzulässige Kühlmittelttemperatur  $t_A$  bei verstärkter Luftkühlung,  $V_L = 120$  l/s,  
auf Kühlkörper K 0,05 F.  
Maximum allowable cooling medium temperature  $t_A$ , at forced cooling,  $V_L = 120$  l/s,  
on heatsink type K 0.05 F.

T-25-21



**T 1258 N T 1259 N**

T-25-21

